基于多分支多尺度卷积网络的心房颤动检测模型

赵思宇1, 刘明1, 刘名起1, 杨晓茹2, 熊鹏1, 张杰烁1

- 1. 河北大学 电子信息工程学院 (河北保定 071002)
 - 2. 保定市生产力促进中心 (河北保定 071023)

附件 1 基于小波变换的心电降噪过程

Supplement 1 ECG denoising process based on wavelet transform

$$\hat{d}_{j} = \begin{cases} \operatorname{sgn}(d_{j})(|d_{j}| - T), |d_{j}| \ge T_{j} \\ 0, \qquad |d_{j}| \le T_{j} \end{cases}$$

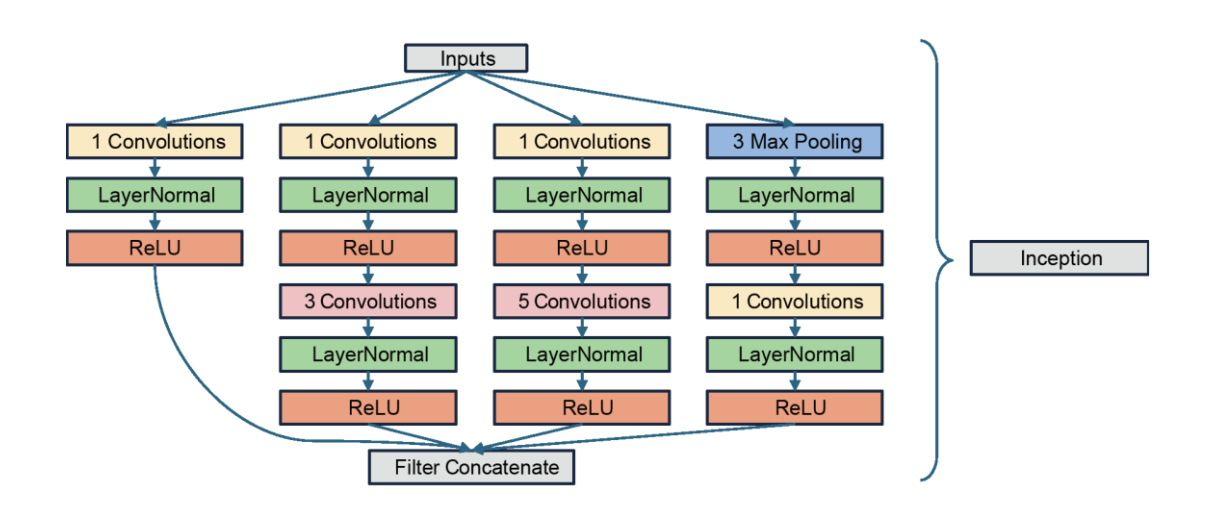
$$T_{j} = \sigma \sqrt{2\log||d_{j}||}$$

$$(1)$$

$$T_j = \sigma \sqrt{2\log||d_j||} \tag{2}$$

通过选取母小波进行离散小波变换,对含有噪声心电信号进行分解,分解等级为5, 得到近似系数 a_i 和详细系数 d_i ,之后利于 \hat{d}_i 和 a_i 利用逆离散小波变换计算, \hat{d}_i 的计算如上式 所示。

附件 2 Inception 模块结构 **Supplement 2 Inception module structure**



Inception 模块结构如上图所示。Inception 采用多通道的级联设计,小尺寸卷积核因参 数少而计算速度快、感受野小,但级联后可以逐步扩大感受野;而大尺寸卷积核虽计算速 度慢、参数多,但感受野广、级联使用可以捕获更全面的信息。小卷积核与大卷积核的组 合有助于网络捕获更广泛的感受野,从而提取更丰富的信息。每个卷积和池化层后都连接 有正则层和激活层,考虑到心电信号来源于不同导联的特性,采用了基于层的正则化。

附件 3 不同时间长度对疾病分类准确率影响的测试结果

Supplement 3 Results of the impact of different time lengths on disease classification

accuracy

时间长度	ACC (%)	SE (%)	SP (%)
4 s	95.76	96.35	94.74
6 s	96.89	97.72	95.88
8 s	96.56	97.39	95.23
10 s	96.96	97.97	95.45

本研究对 4、6、8、10 s 的心电数据段展开模型性能测试。测试结果如上表所示。相比于 4 s 和 8 s 的心电数据段,使用 6 s 的心电数据段进行房颤检测时模型的准确率更高;相比于 10 s 的心电数据段,使用 6 s 的心电数据段进行房颤检测时模型的特异性更高。因此,选择 6 s 作为心电片段的长度,既可以充分捕获房颤的关键特征,又能避免由于片段过长引起的性能降低,在保证检测准确性的同时,也适应临床快速筛查的需求。

附件 4 模型在不同输入下的训练和测试时间

Supplement 4 Training and testing time of the model with different inputs

网络输入	模型参数/MB	模型训练/min	单片段测试/s	片段组测试/s
原始信号	4.80	532	0.36	1.47
原始+梯度	4.80	489	0.36	1.48
融合信息	6.43	676	0.48	1.96

本文的模型参数和训练测试时间如上表所示,其中单片段测试指模型测试一条 6 s 信号 所需的时间,而片段组测试则是完成 1 024 个片段的测试所需的总时间。当模型输入为两种 模式的信号时,模型的网络结构为两通道输入,当仅有单一信号模式作为输入时,两个通 道均采用相同的信号作为输入;当输入三种模式的信号时,模型为三通道输入。